



دانشگاه شهید بهشتی

دانشکده علوم

گروه شیمی

پایان نامه دوره دکترای تخصصی شیمی معدنی

ستز و شناسایی کمپلکس های تترافنیل پورفیرین آهن با لیگاند های استخلافی فنیل سیانامید

دانشجو:

حسین چینی فروشان

استاد راهنمای:

دکتر ناصر صفری

۱۳۸۶/۰۷/۲۸

استاد مشاور:

دکتر علیرضا رضوانی

۹۹۳

زمان: ۱۳۸۵ اردیبهشت

تقدیم به همسر خوب

و سه فرزند عزیزم

به پاس سختی‌های فراوانی که متحمل شده‌اند.

تقدییر

با تشکر فراوان از استاد گرانقدر آقای دکتر ناصر صفری که دیدگاه نوینی را در زمینه تحقیقاتی فراراه من نهادند و با امتنان بسیار از راهنمایی‌های علمی و اخلاقی ارزنده ایشان در طی زندگی ام.

از تمامی اساتید، کارکنان، دوستان و مدیریت محترم گروه شیمی و دانشکده علوم پایه دانشگاه شهید بهشتی صمیمانه سپاسگزارم.

فہرست مطالب

چکیده

فصل اول : مقدمہ و تئوری

۱	مقدمه
۲	۱- پورفیرین‌ها و حیات
۲	۲- آهن محیط و حیات
۷	۳- آهن خواص یون آهن
۸	۴- آشنایی مختصری با خانوارده ترکیبات تراپیرون (پورفیرین)
۱۰	۵- ساختار مولکولی پورفیرین
۱۶	۶- ۱- ساختار مولکولی متالوپورفیرین با لیگاند محوری
۱۸	۶- ۲- کاربرد پورفیرین‌ها و متالوپورفیرین‌ها
۲۲	۶- ۳- مقدمه و تاریخچه، اهمیت لیگاندهای فنیل سیانآمید
۳۲	۶- ۴- ۱- ویژگی ساختاری فنیل سیانآمیدها
۳۴	۶- ۴- ۲- تهیه لیگاند فنیل سیانآمید
۳۶	۶- ۴- ۳- شیمی کوئوردیناسیون لیگاند فنیل سیانآمید
۳۸	۶- ۴- ۴- طیف سنجی لیگاند سیانآمید
۴۱	۶- ۴- ۵- ساختار بلورین متالوپورفیرین‌ها
۴۲	۶- ۴- ۶- ۱- طیف بینی رزونانس مغناطیسی هسته برای پورفیرین‌ها و متالوپورفیرین‌ها
۴۵	۶- ۴- ۶- ۲- ۱- طیف بینی (الف) جابجایی دوقطبی
۴۷	۶- ۴- ۶- ۲- ۲- (ب) جابجایی تماسی
۵۱	۶- ۴- ۶- ۳- ساختار و طیف الکترونی پورفیرین و متالوپورفیرین‌ها
۵۳	۶- ۴- ۶- ۴- ۱- انتقالات $\pi-\pi^*$ لیگاند پورفیرین و متالوپورفیرین
۵۳	۶- ۴- ۶- ۴- ۲- انتقالات میدان لیگاند
۵۵	۶- ۴- ۶- ۴- ۳- دسته‌بندی طیف الکترونی متالوپورفیرین‌ها
۵۵	۶- ۴- ۶- ۴- ۴- طیف الکترونی طبیعی (normal) متالوپورفیرین‌ها
۵۷	۶- ۴- ۶- ۴- ۵- طیف الکترونی هیپسو (hypso) متالوپورفیرین
۵۸	۶- ۴- ۶- ۶- طیف الکترونی هیپر (Hyper) برای متالوپورفیرین‌ها

فصل دوم: تجربی

۱-۲- خالص سازی حلالها شامل خشک کردن و عاری از گاز اکسیژن نمودن.....	۶۳
۱-۲-۱- خشک کردن حلالهای مورد استفاده	۶۳
۱-۲-۲- عاری از گاز اکسیژن نمودن	۶۳
۲-۳- ستر پورفیرین و متالوپورفیرین	۶۴
۲-۳-۱- ستر پورفیرین TPPH_2	۶۴
۲-۳-۲- خالص سازی ترافیل پورفیرین	۶۴
۲-۳-۳- ستر کلرو ترافیل پورفیرین آهن (III) [TPP Fe Cl] (III)	۶۵
۲-۴- ستر کلرو ترافیل پورفیرین آهن (III) (TPP Fe Cl) (III)	۶۵
۲-۵- خالص سازی کلرو ترافیل پورفیرین آهن (III) (TPP Fe Cl) (III)	۶۵
۲-۶- ستر لیگاند مشتقات فنیل سیانامید	۶۶
۲-۷-۱- نمک تالیم مشتقات فنیل سیانامید	۶۶
۲-۷-۲- تهیه کمپلکس های $\text{TPPFe}^{\text{III}}(X_n\text{Pcyd})$	۶۷
۲-۷-۳- تهیه کمپلکس (۳) $\text{TPPFe}^{\text{III}}(2,6\text{Cl}_2\text{Pcyd})$	۶۷
۲-۷-۴- تهیه کمپلکس (۲) $\text{TPPFe}^{\text{III}}(2,5\text{Cl}_2\text{Pcyd})$	۶۷
۲-۷-۵- تهیه کمپلکس (۴) $\text{TPPFe}^{\text{III}}(2,3,4,6\text{Cl}_6\text{Pcyd})$	۶۷
۲-۷-۶- تهیه کمپلکس (۵) $\text{TPPFe}^{\text{III}}(2\text{Cl Pcyd})$	۶۸
۲-۷-۷- تهیه کمپلکس (۱) $\text{TPPFe}^{\text{III}}(\text{Pcyd})$	۶۸
۲-۷-۸- تهیه کمپلکس (۶) $\text{TPPFe}^{\text{III}}(4\text{-MePcyd})$	۶۸
۲-۷-۹- تهیه کمپلکس (۷) $\text{TPPFe}^{\text{III}}(3,5,\text{Me}_2\text{Pcyd})$	۶۹
۲-۷-۱۰- تهیه کمپلکس (۸) $\text{TPPFe}^{\text{III}}(2,4,\text{Me}_2\text{Pcyd})$	۶۹
۲-۷-۱۱- تهیه کمپلکس (۹) $\text{TPPFe}^{\text{III}}(4,\text{MeOPcyd})$	۶۹
۲-۷-۱۲- تهیه کمپلکس (۱۰) $\text{TPPFe}^{\text{III}}(3,5,\text{MeO}_2\text{Pcyd})$	۶۹
۲-۸- تهیه و رشد بلور از کمپلکس $\text{TPPFe}^{\text{III}}(2,6\text{Cl}_2\text{Pcyd})$	۷۰
۲-۹- تهیه کمپلکس (۶) $[\text{TPPMn}(4\text{Me- Pcyd})]$	۷۰
۲-۱۰- تهیه کمپلکس [TPPMn(X_n Pcyd)] با دیگر مشتقات فنیل سیانامید به عنوان لیگاند محوری)	۷۰

فصل سوم : نتایج و بحث

۳-۱- شناسایی ترکیبات ستره شده به وسیله طیف بینی	۷۲
۳-۱-۱- طیف بینی مرئی ترکیب ترافیل پورفیرین (TPPH_2)	۷۲
۳-۱-۲- طیف بینی مرئی فلزدار شدن ترافیل پورفیرین	۷۳
۳-۲- طیف بینی مادون قرمز IR متالوپورفیرین	۷۵
۳-۳- طیف بینی ^1H NMR ^1H NMR متالوپورفیرین	۷۵
۳-۴- شناسایی کمپلکس های $\text{TPPFe}(X_n\text{Pcyd})$	۷۷
۴-۱- شناسایی کمپلکس (۳) $\text{TPPFe}(2,6\text{Cl}_2\text{Pcyd})$	۷۷
۴-۲- شناسایی کمپلکس (۲) $\text{TPPFe}(2,5\text{Cl}_2\text{Pcyd})$	۸۲

۸۵ شناسایی کمپلکس (۴) TPPFe (2,3,4,6Cl ₄ Pcyd)
۸۸ شناسایی کمپلکس (۱) TPPFe (Pcyd)
۹۲ ۳-۴-۴-۳- شناسایی کمپلکس [TPPFe(2Cl Pcyd)](۵)
۹۵ ۳-۴-۴-۳- شناسایی کمپلکس های TPPFe(X _n Pcyd) با لیگاندهای مشتقات فنیل سیانامیدها با استخلاف های دهنده الکترون
۹۰ ۳-۴-۱- شناسایی کمپلکس [TPPFe(4Me- Pcyd)](۶)
۹۹ ۳-۴-۲- شناسایی کمپلکس TPP Fe(3,5Me ₂ Pcyd) (۷)
۱۰۱ ۳-۴-۳- شناسایی کمپلکس TPP Fe(2,4Me ₂ Pcyd) (۸)
۱۰۳ ۳-۴-۴- شناسایی کمپلکس TPP Fe(4MeO Pcyd) (۹)
۱۰۶ ۳-۴-۵- شناسایی کمپلکس TPP Fe(3,5MeO ₂ Pcyd) (۱۰)
۱۰۸ ۳-۶- مطالعه اثر رطوبت و هوای بر کمپلکس های [TPP Fe(X _n Pcyd)]
۱۱۰ ۳-۷- تهیه و شناسایی کمپلکس TPPFe(NCNC ₆ H ₂ Cl ₂ NCNFeTPP)
۱۱۰ ۳-۷-۱- تهیه کمپلکس یک سر [(TPPFe(NCN)C ₆ H ₂ Cl ₂ NCN)]As Ph ₄
۱۱۱ ۳-۷-۲- تهیه کمپلکس دوسر TPPFe(NCNC ₆ H ₂ Cl ₂ NCNFeTPP)
۱۱۱ ۳-۷-۳- بحث و نتیجه گیری
۱۱۳ ۳-۸- بحث و نتیجه گیری کلی
۱۱۴ ۳-۸-۱- شناسایی طیف بینی، مطالعه ¹ H NMR
۱۱۷ ۳-۸-۲- شناسایی طیف بینی مرئی UV-Vis
۱۱۸ ۳-۸-۳- شناسایی طیف بینی IR
۱۱۹ ۳-۸-۴- شناسایی طیف بینی مطالعه تفرق اشعه-X
۱۲۲ مراجع
۱۲۷ Abstract
۱۲۸ ضمایم

۱	شکل ۱-۱ شمای از پورفیرین‌ها در طیعت و عملکرد آنها
۲	شکل ۲-۱ ساختار مولکولی ویتامین B_{12} و نیکل کورفینواید F_{430}
۳	شکل ۳-۱ کوئوردیناسیون‌های متفاوت آهن در هم پروتئین
۴	شکل ۴-۱ شمای اکسیدشدن $Fe(II)$ به $Fe(III)$ در محیط اسیدی
۵	شکل ۵-۱ دیاگرام اوریتالهای d در تقارن هشت وجهی حالت‌های کم اسپین و پراسپین $Fe(II), Fe(III)$
۶	شکل ۶-۱ کوئوردیناسیون $Fe^{3+/2+}$ در روبردواکسین و (ب) گروه هم و کوئوردیناسیون آهن در سیتوکروم C
۷	شکل ۷-۱ (الف) شکل سمت راست شماره گذاری فشو و شکل سمت چپ شمای شماره گذاری ۱-۲۴ پورفیرین
۸	شکل ۸-۱ طراحهای از ساختارهای مینا
۹	شکل ۹-۱ ساختار ترافنل پورفیرین TPP همراه چند ساختار دیگر
۱۰	شکل ۱۰-۱ ساختارهای کلروفیل و باکتریوکلروفیل
۱۱	شکل ۱۱-۱ از آنولین تا پورفیرین
۱۲	شکل ۱۲-۱ فرم‌های تاتومری پورفیرین
۱۳	شکل ۱۳-۱ چهار انحراف متقارن غیرصفحه‌ای برای کمپلکس‌های پورفیرین
۱۴	شکل ۱۴-۱ شکل‌های ساختارهای نحوی پیوند متالوپورفیرین‌ها را در فرم تک هسته‌ای و دو هسته‌ای
۱۵	شکل ۱۵-۱ شکل‌های ساختارهای نحوی پیوند متالوپورفیرین‌ها را در فرم سه هسته چهارهسته تک حلقه‌ای
۱۶	شکل ۱۶-۱ شکل‌های فوق ساختارهای پلیمری متالوپورفیرین‌ها را نشان می‌دهد
۱۷	شکل ۱۷-۱ اتصال متالوپورفیرین و فتالوسیانین بروی پایه Si
۱۸	شکل ۱۸-۱ شمایی از ذخیره اطلاعات به وسیله متالوپورفیرین
۱۹	شکل ۱۹-۱ پاسخ ولتاوی از یک لایه پورفیرین ۱ بعد از پخت در $400^{\circ}C$ ۳۰ دقیقه تحت شرایط اتمسفر خشی
۲۰	شکل ۲۰-۱ آرایه سنسوری رنگ سنجی بخاری عبوری فعال
۲۱	شکل ۲۱-۱ طرح تفاوت جواب شیمیابی آرایه رنگی بدست آوردن یک رنگ به عنوان اثر انگشت
۲۲	شکل ۲۲-۱ اثر انگشت رنگی برای انواع آنالیت‌ها در فشار بخار اشباع
۲۳	شکل ۲۳-۱ جواب‌های قسمت در میلیون محصولات فرار گازی رشد باکتری‌ها
۲۴	شکل ۲۴-۱ آرایه پورفیرین‌های متصل شده به هم در محلهای ۱۰ و ۲۰
۲۵	شکل ۲۵-۱ انواع پلیمرهای کوئوردینه شده تک بعدی کباب شیشلیک
۲۶	شکل ۲۶-۱ نمودار نمایش پلیمرهای کوئوردینه شده فرووالکتریک و تعویض ممان دوقطبی در پاسخ به میدان خارجی
۲۷	شکل ۲۷-۱ (الف) ترکیب DCNQI ب) واکنش تهیه DCNQI
۲۸	شکل ۲۸-۱ نمای پرسپکتیو از ساختار بلور $Cu(DCNQI)_2$
۲۹	شکل ۲۹-۱ (الف) پایدار شدن لیگاند آنیون فنیل سیانامید با رزونانس شکل ب) اوریتالهای مولکولی تقارن-π عمود
۳۰	شکل ۳۰-۱ (الف) ترکیب دی آنیون دی سیانامید و بتزن، ب) شکل اوریتال مولکولی شکل ج) نمودار لیگاند
۳۱	شکل ۳۱-۱ مرحله تهیه فنیل سیانامید

۳۸	شکل ۱-۳۴-۱ سنتر نمک های فنیل سیان آمید و مشتقات آنها.
۳۹	شکل ۱-۳۴-۲ (الف) محل های کوئور دیناسیون فنیل سیان آمید خشی ب) محل های کوئور دیناسیون فنیل سیان آمید آنیونی
۴۰	شکل ۱-۳۵ مدل های مختلف کوئور دینه شدن لیگاند های سیان آمید با زاویه های ایده آل
۴۲	شکل ۱-۳۶-الف) نموداری از مرکز پورفیرین ب) گروه کوئور دیناسیون هرم مریع القاعده
۴۳	شکل ۱-۳۷-شما بی از نمودار تفاوت ساختاری بین کمپلکس ها با تعیین عدد کوئور دیناسیون و حالت آسپینی.
۴۵	شکل ۱-۳۸ ZFS از سطوح شش تایی آهن (III) پراسپین
۴۶	شکل ۱-۳۹ شماره گذاری کردن و مشخص کردن موقعیت ها در حلقه پروتوبورفیرین IX
۴۷	شکل ۱-۴۰-الف) طیف H-NMR پورفیرین آهن (III) پراسپین [FeTPPCl]Cl ب) (پروتوبورفیرین IX) [Fe] [FeTPPCl]Cl ب)
۴۸	شکل (۱۴-۱) طیف HbCO اکسید کرین همو گلوبین اسب
۴۹	جدول ۱-۶ ارتباط نمادهای اوریتال مولکولی هم در گروه های نقطه ای مربوطه
۵۰	شکل ۱-۴۲-۱ شکافتنگی اوریتالهای ۳d آهن تحت تأثیر میدان های مختلف
۵۱	شکل ۱-۴۳-۱ نمایش طیف الکترونی نمونه ای از متالوبورفیرین های طبیعی، هیپسو، و هیپر d ₅ p
۵۲	شکل ۱-۴۴-۱ نمودار اوریتال مولکولی برای مدل چهار اوریتالی جذب متالوبورفیرین ها مدل طبیعی
۵۳	شکل ۱-۴۵-۱ بالاترین اوریتال های مولکولی پر (تقارن a _{2g} u) و پایین ترین اوریتال مولکولی خالی (تقارن eg) از فلز پورفیرین
۵۴	شکل ۱-۴۶-۱ نمودار اوریتال مولکولی برای پورفیرین های هیپسو
۵۵	شکل ۱-۴۷-۱ نمودار اوریتال مولکولی برای فلز پورفیرین های هیپر نوع P
۵۶	شکل ۱-۴۸-۱ نمودار اوریتال مولکولی برای فلز پورفیرین های هیپر نوع d
۵۷	شکل ۱-۴۹-۱ طیف UV-Vis TPPH ₂ ترکیب ترا فنیل پورفیرین (2TPPH ₂) در حلال دی کلرومتان
۵۸	شکل ۱-۵۰-۲ طیف UV-Vis ، کمپلکس TPPFe-Cl در حلال بتزن
۵۹	شکل ۱-۵۱-۳ طیف UV-Vis ، کمپلکس TPPMn-Cl در حلال دی کلرومتان
۶۰	شکل ۱-۵۲-۳ طیف UV-Vis ، کمپلکس TPPCr-Cl در حلال دی کلرومتان
۶۱	شکل ۱-۵۳-۳ طیف IR ، TPPH ₂ در حلال بتزن
۶۲	شکل ۱-۵۴-۳ طیف ¹ H NMR ترکیب TPPFeCl در حلال CDCl ₃
۶۳	شکل ۱-۵۵-۳ طیف UV-Vis کمپلکس TPPFe(2,6Cl ₂ Pcyd) در حلال بتزن
۶۴	شکل ۱-۵۶-۳ طیف IR ترکیب (2,6Cl ₂ Pcyd) TPPFe با استفاده از قرص KBr
۶۵	شکل ۱-۵۷-۳ طیف UV-Vis TPPFe (2,6Cl ₂ Pcyd) در حلال CDCl ₃
۶۶	شکل ۱-۵۸-۳ طیف IR ترکیب (2,6Cl ₂ Pcyd) TPPFe با استفاده از قرص KBr
۶۷	شکل ۱-۵۹-۳ طیف IR ترکیب (2,6Cl ₂ Pcyd) TPPFe در حلال CDCl ₃
۶۸	شکل ۱-۶۰-۳ طیف IR ترکیب کمپلکس (2,5Cl ₂ Pcyd) TPPFe با استفاده از قرص KBr
۶۹	شکل ۱-۶۱-۳ طیف IR ترکیب (2,5Cl ₂ Pcyd) TPPFe در حلال CDCl ₃
۷۰	شکل ۱-۶۲-۳ طیف گستره ¹ H NMR TPPFe (2,5Cl ₂ Pcyd) در حلال CDCl ₃
۷۱	شکل ۱-۶۳-۳ طیف IR ترکیب (2,3,4,6Cl ₄ Pcyd) TPPFe با استفاده از قرص KBr
۷۲	شکل ۱-۶۴-۳ طیف IR ترکیب (Pcyd) TPPFe (2,3,4,6Cl ₄ Pcyd) در حلال CDCl ₃
۷۳	شکل ۱-۶۵-۳ طیف IR ترکیب (Pcyd) Tl با استفاده از قرص KBr
۷۴	شکل ۱-۶۶-۳ طیف IR ترکیب (Pcyd) TPPFe با استفاده از قرص KBr

۹۱	شکل ۱۷-۳ - طیف ^1H NMR TPPFe (Pcyd) ، ^1H NMR در حلال CDCl_3
۹۳	شکل ۱۸-۳ طیف ^1H NMR ترکیب (2 ClPcyd) TPPFe (2 ClPcyd) در حلال CDCl_3
۹۴	شکل ۱۹-۳ طیف IR ترکیب (2 ClPcyd) TPPFe با استفاده از قرص KBr
۹۶	شکل ۲۰-۳ - طیف ^1H NMR TPPFe (4 MePcyd) ، ^1H NMR در حلال CDCl_3
۹۷	شکل ۲۱-۳ - طیف ^1H NMR TPPFe (4 MePcyd) ، ^1H NMR در حلال CDCl_3 بصورت گسترده
۹۸	شکل ۲۲-۳ طیف IR ترکیب (4MePcyd) TPPFe با استفاده از قرص KBr
۹۹	شکل ۲۳-۳ طیف ^1H NMR TPPFe (3,5 Me ₂ Pcyd) ، ^1H NMR در حلال CDCl_3
۱۰۰	شکل ۲۴-۳ طیف IR ترکیب (3,5Me ₂ Pcyd) TPPFe با استفاده از قرص KBr
۱۰۱	شکل ۲۵-۳ طیف ^1H NMR TPPFe (2,4 Me ₂ Pcyd) ، ^1H NMR در حلال CDCl_3
۱۰۲	شکل ۲۶-۳ طیف IR ترکیب (2,4 Me ₂ Pcyd) TPPFe با استفاده از قرص KBr
۱۰۳	شکل ۲۷-۳ طیف ^1H NMR TPPFe (4MeOPcyd) ، ^1H NMR در حلال CDCl_3
۱۰۴	شکل ۲۸-۳ طیف IR ترکیب (4 MeOPcyd) TPPFe با استفاده از قرص Br
۱۰۵	شکل ۲۹-۳ طیف IR ترکیب (4 MeOPcyd) Tl(4 MeOPcyd)
۱۰۵	شکل ۳۰-۳ طیف IR ترکیب (4 MeOPcyd) Tl (4 MeOPcyd) و TPPFe(4 MeOPcyd)
۱۰۶	شکل ۳۱-۳ طیف ^1H NMR TPPFe (3,5MeO ₂ Pcyd) ، ^1H NMR در حلال CDCl_3
۱۰۷	شکل ۳۲-۳ طیف IR ترکیب (3,5MeO ₂ Pcyd) TPPFe با استفاده از قرص KBr
۱۰۹	شکل ۳۳-۳ بررسی پایداری محصول TPPFe Pcyd پس از سه روز و ۱۴ روز
۱۱۰	شکل ۳۴-۳ پیک ^1H NMR تهیه کمپلکس $[(\text{TPPFe}(\text{NCN})\text{C}_6\text{H}_2\text{Cl}_2\text{NCN})]\text{As Ph}_4$
۱۱۱	شکل ۳۵-۳ اضافه کردن TPPFeCl به لیگاند سیاتامید دوسر (As Ph ₄ NCN) ₂ C ₆ H ₂ Cl ₂
۱۱۲	شکل ۳۶-۳ ساختار مشتقات لیگاندهای کمپلکس های ۱ تا ۴
۱۱۵	شکل ۳۷-۳ طیف ^1H NMR کمپلکس های پورفیرین آهن (III)
۱۱۶	شکل ۳۸-۳ ترسیم جابجایی شیمیایی بر حسب (K) $\frac{1}{T}$
۱۱۸	شکل ۳۹-۳ - طیف UV-Vis (—) TPPFeCl(—) ، TPPFeCl(2,3,4,6-Cl ₄ Pcyd)(---) و TPPFePcyd(....) در بتن 10^{-7} M
۱۱۸	شکل ۴۰-۳ سه مد کوئور دیناسیون برای کمپلکس های فلز سیاتامید
۱۲۰	شکل ۴۱-۳ (a) شمای شماره اتمها (b) ساختار مولکولی TPPFe(2,6-Cl ₂ Pcyd)

فهرست جداول

جدول ۱-۱ لیگاند های محوری انتخاب شده در هم پروتئین	۵
جدول ۱-۲ میانگین توزیع Fe در انسان	۸
جدول ۱-۳ لیست نام ترکیبات پورفیرینی به ترتیب حروف الفبا	۱۱
جدول ۱-۴ نامگذاری اختصاری برخی از پورفیرین ها آهن	۱۴
جدول ۱-۵ پارامتر های مرکز پورفیرین (بر حسب Å) برای مشتقات فریک بنج کوئردنیه حالت اسیدی پر و حد واسط	۴۵
جدول ۱-۶ ارتباط نمادهای اوریتال مولکولی هم در گروه های نقطه ای مربوطه	۵۳
جدول ۱-۷ داده های تجزیه عنصر برای ترکیب TPPFe (2,6Cl ₂ Pcyd)	۸۱
جدول ۲-۱ داده های بلور شناسی کمپلکس TPPFe (2,6Cl ₂ Pcyd)	۸۲
جدول ۲-۲ داده های تجزیه عنصری برای ترکیب TPPFe (2,3,4,6Cl ₄ Pcyd)	۸۵
جدول ۲-۳ داده های تجزیه عنصری برای کمپلکس (Pcyd)	۸۸
جدول ۲-۴ داده های طیف ¹ H NMR کمپلکس های TPPFe-L	۱۱۷
جدول ۲-۵ داده های طیف جذبی کمپلکس های TPPFe-L	۱۱۷
جدول ۲-۶ داده های طیف IR کمپلکس های TPPFe-L و نمک های تالیوم مشتقات فنیل سیانامید	۱۱۹
جدول ۲-۷ طول پیوندها (Å) و زوایای (°) انتخابی برای TPPFe(2,6-Cl ₂ Pcyd)	۱۲۱

تعدادی کمپلکس پنج کوئوردینه TPP M-L' - MTPP دو هسته‌ای تهیه شده که TPP، دی آنیون ترافنیل پورفیرین و M، آهن (III) و منگنز (III) و L مشتقات مختلف فنیل سیانامید تک‌دانه ($X_n\text{pcyd}$) به صورت فنیل سیانامید (1)، ۲ و ۵ دی کلرو فنیل سیانامید (2,5-Cl₂Pcyd) (2)، ۲ و ۶ دی کلرو فنیل سیانامید (2,6-Cl₂Pcyd) (3) و ۲ و ۳ و ۴ و ۶ تراکلروفنیل سیانامید (2,3,4,6-Cl₄Pcyd) (4) ۲ کلروفنیل سیانامید (2-Cl-Pcyd) (5) ۴ فنیل سیانامید (4-MePcyd) (6) ۳ و ۵ دی متیل فنیل سیانامید (3,5-Me₂Pcyd) (7) ۲ و ۴ دی متیل فنیل سیانامید (2,4-Me₂Pcyd) (8) ۴ متوكسی فنیل سیانامید (di Pcyd²⁻) (9) ۳ و ۵ دی متیل متوكسی فنیل سیانامید (3,5-MeO₂Pcyd) (10) و L پارافنیل دی سیانامید (di Pcyd²⁻) می‌باشد. این کمپلکس‌ها از واکنش TPPMCl و نمک تالیم مشتقات فنیل سیانامیدهای مربوطه تهیه گردیده است.

همه کمپلکس‌های ستر شده به وسیله طیف بینی‌های ¹H NMR, IR, UV-Vis مورد مطالعه قرار گرفته است. تک بلور تیره سوزنی شکل قمز-قهوه‌ای رنگ ۲ و ۶ دی کلروفنیل سیانامید و ترافنیل پورفیرین آهن (III) [TPPFe^{III}(2,6Cl₂Pcyd)], (III) در سیستم $C_{51}H_{31}FeN_6 \cdot CH_3Cl$ گروه فضایی $\bar{P}\bar{I}$ و ابعاد سلول واحد $a = 10.985(1)\text{\AA}$, $b = 11.350(1)\text{\AA}$, $c = 18.824(2)\text{\AA}$, $\alpha = 95.834(6)^\circ$, $\beta = 100.852(6)^\circ$, $\gamma = 101.253(5)^\circ$ درجه می‌باشد.

ساختار بلوری ترکیب Fe(III) نشان می‌دهد که انحرافی از هرم مریع القاعده با آنیون دی کلرو سیانامید در موقعیت محوری از طرف نیتروژن‌های نیتریلی صورت گرفته و اتم آهن (۱۰/۴۷ Å) از صفحه پورفیرین به طرف لیگاند فنیل سیانامید خارج شده است و زاویه ۱۵۳° لیگاند اتم آهن، Fe-N-C در مقایسه با Mn-N-C با زاویه ۱۳۷° نشان می‌دهد که اوریتال‌های π اتم آهن نیز در پیوند نقش دارند.

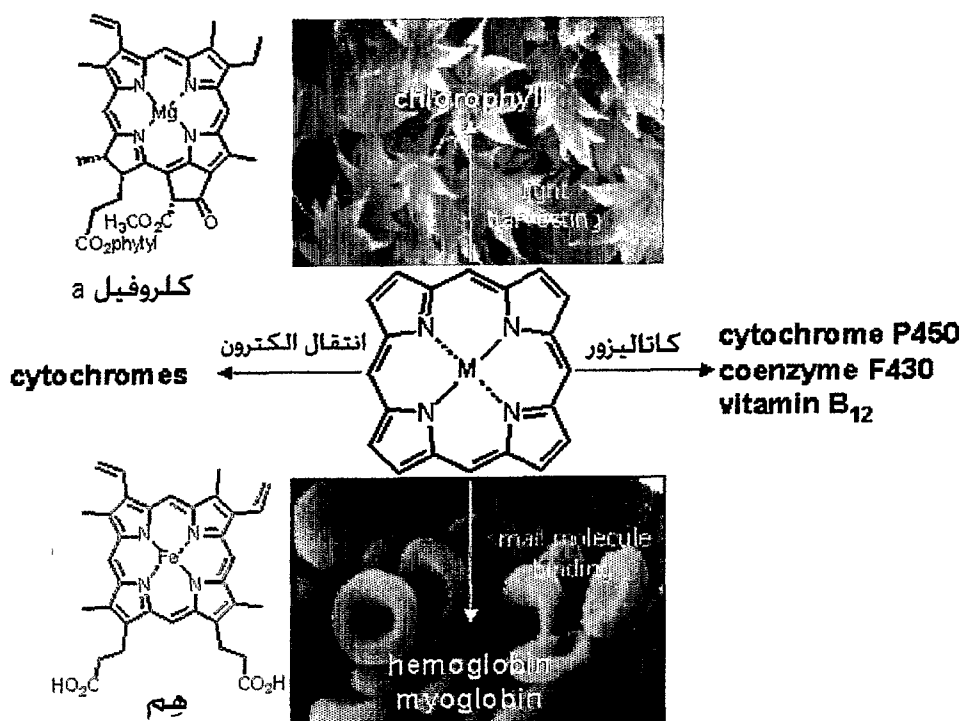
در حالهای غیر کوئوردینه شونده مثل بتزن و کلروفرم طیف ¹H NMR کمپلکس‌های فرق خصوصیات آهن پراسپین $\frac{5}{2}S$ را نشان می‌دهند. مطالعات پارامترهای ساختاری نیز در توافق کمپلکس‌های آهن III پراسپین هستند. کمپلکس TPPML با اکسیژن واکنش نشان نمی‌دهد و به وسیله HCl به TPPMCl تبدیل می‌شود.

فصل اول

مُقْلَهُ و شُورِي

۱- پورفیرین‌ها و حیات

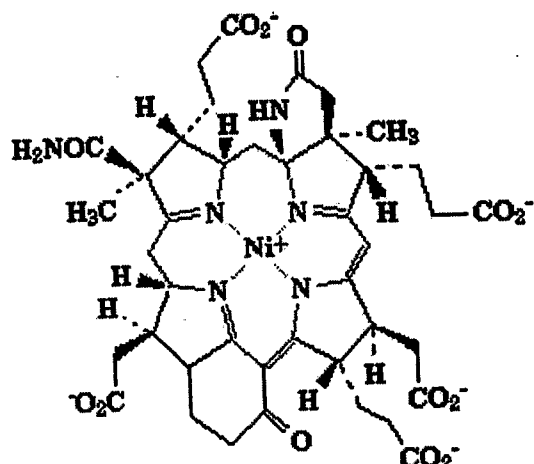
توجه روزافزون به ساختار و عملکرد پورفیرین‌ها و ماکروسیکل‌های تراپیرون ناشی از اهمیت این ترکیبات در سیستم‌های بیولوژیکی است. (شکل ۱-۱)



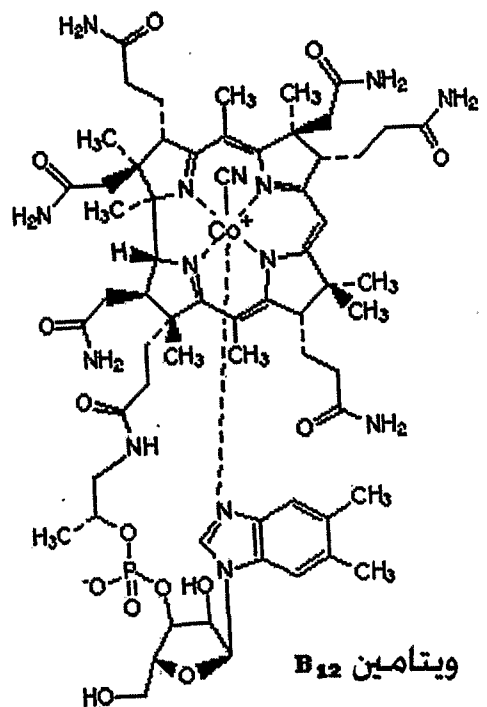
شکل ۱-۱ شمایی از پورفیرین‌ها در طبیعت و عملکرد آنها

همانطور که بسیار خوب شناخته شده جلودار این مواد بیولوژیکی، هم-پروتین (پورفیرین آهن) است. پیگمانهای مختلف فتوستتری (کلروفیل منیزیم) و فتوفتین (که پورفیرین بدون فلز است. pheophytins)، ویتامین B₁₂ کوآنزیم (کبالت کورینواید،

(methanogenic) و کوآنزیم F₄₃₀ (نیکل کورفینواید، Nickel Corphinoids) از باکتری مثانوژنیک، (Nickel Corphinoids) نمونه‌های دیگری از این موارد بیولوژیک می‌باشند.* (شکل ۱-۱ و شکل ۲-۱).



نیکل کورفینواید F₄₃₀



ویتامین B₁₂

شکل ۱-۲- ساختار مولکولی ویتامین B₁₂ و نیکل کورفینواید F₄₃₀

به علت گستردگی حضور و تنوع عامل طبیعی هم-پروتئین، بررسی همه جانبی‌های بر روی آنها انجام شده است. پروتئین‌هایی که شامل یک پورفیرین آهن (هم) به عنوان گروه پروستیتیک (Prosthetic) هستند، وظیفه انتقال و ذخیره سازی اکسیژن (هموگلوبین، hemoglobin و میوگلوبین، myoglobin) [۱]، انتقال الکترون (Cytochromes b,c) [۲]، کاهش اکسیژن (سيتوکروم اکسیداز، Cytochrome Oxidase) [۳]، استفاده از هیدروژن پراکسید و تخریب آن (پروکسیداز و کاتالازها)، (سيتوکروم اکسیداز، Cytochrome P₄₅₀) [۴]، و اکسایش هیدروکربورها (Peroxidases & Catalases) [۵] می‌باشد.

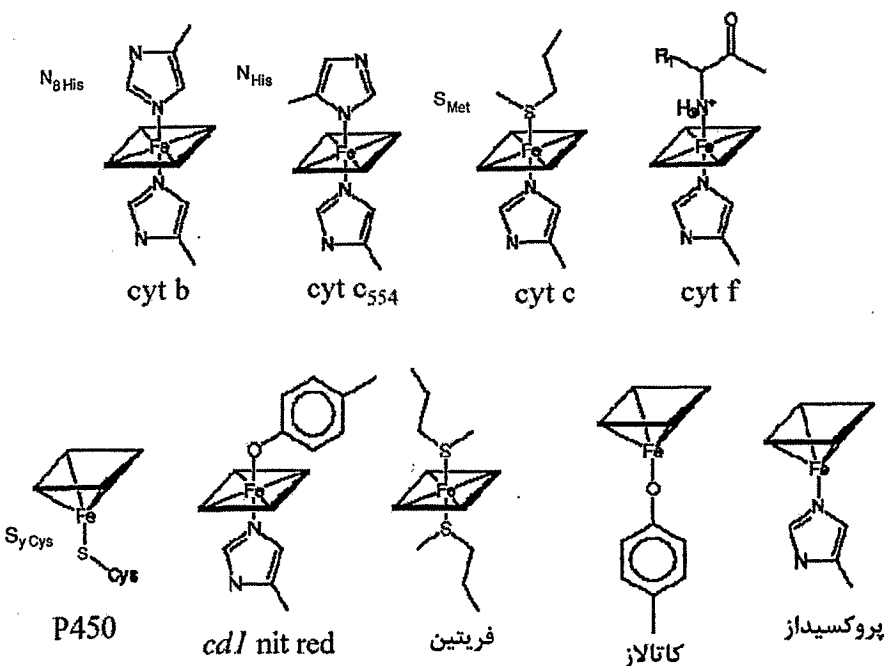
* - مثانوژن‌ها (methanogens) نوع بدوى از باکترى‌ها (آرچوباكترى Archeo bacteria) هستند، که قادر به توليد مثان در پایان زنجیره جذب الکترون می‌باشند، و شامل آنزیم‌های F₄₃₀ ویتامین B₁₂ در کاتالیز کردن واکنش $4\text{H}_2 + \text{CO}_2 \rightleftharpoons \text{CH}_4 + 2\text{H}_2\text{O}$ می‌باشند. یک گاو در روز تقریباً ۴۰ لیتر مثان تولید می‌کند، و مثان یک گاز گلخانه‌ای قوی در اتمسفر است.

در پورفیرین آهن (پروتوبورفیرین IX) نیتروژن‌های حلقه پورفیرینی چهار محل صفحه کوئوردینه فلز را پر می‌کنند، پس تفاوت در تعداد و ماهیت لیگاندهای محوری، وضعیت اسپینی و حالت اکسایش آهن و طبیعت زنجیره پلی پپتیدی است. (شکل ۱-۳ و

جدول ۱-۱)

یک عقیده و باور اصلی در بیوشیمی معدنی این است که با استفاده از کمپلکس‌های معدنی ساده به عنوان مدل محل‌های فعال می‌توان از ساختمان و عامل بیومولکولهای بزرگ‌الگوبرداری نمود. از این نظر مطالعه مکانیسم عامل هم-پروتئین با مطالعه یک پورفیرین آهن باید متضمن ویژگی فلز (حالت اسپینی، حالت اکسایش و عدد کوئوردیناسیون) و اثرات ممانعت‌های فضایی و الکترونی پورفیرین و دیگر لیگاندهای باشد.

از نظر تاریخی بیشترین تحقیقات روی متالوبورفیرین‌ها روی مکانیسم اتصال بازگشت پذیر اکسیژن در میوگلوبین و هموگلوبین متصرکر است. اتصال اکسیژن به هم-پروتئین، گونه پنج کوئوردینه پراسپین ($S=2$) آهن (II)، باعث بوجود آمدن گونه اکسیژن دار شش کوئوردینه کم اسپین ($S=0$) می‌شود. دو مساله بر سر راه انجام این فرآیند وجود دارد، (الف) وقتی پورفیرین آهن (II) در معرض اکسیژن قرار می‌گیرد بطور غیربازگشت پذیر اکسید می‌شود و (ب) مشکل بدست آوردن پورفیرین آهن پنج کوئوردینه است.



شکل ۱-۳ کوئوردیناسیون‌های متفاوت آهن در هم پروتئین

جدول ۱-۱ لیگاندهای محوری انتخاب شده در هم پروتئین

پروتئین	لیگاند
Hemoglobin	
deoxy	His-F8
oxy	His-F8
carbonmonoxy	His-F8
Myoglobin - deoxy	His-F8
Cytochrome P450	Cysteine
Cytochrome c - نوعی ماهی	His-18
Cytochrome b ₅ - بکر گوساله	His-39
Peroxidase - horseradish	His
Catalase - بکر گاو	Tyr-357

* محل ششمین لیگاند خالی و یا با آپ پر شده است

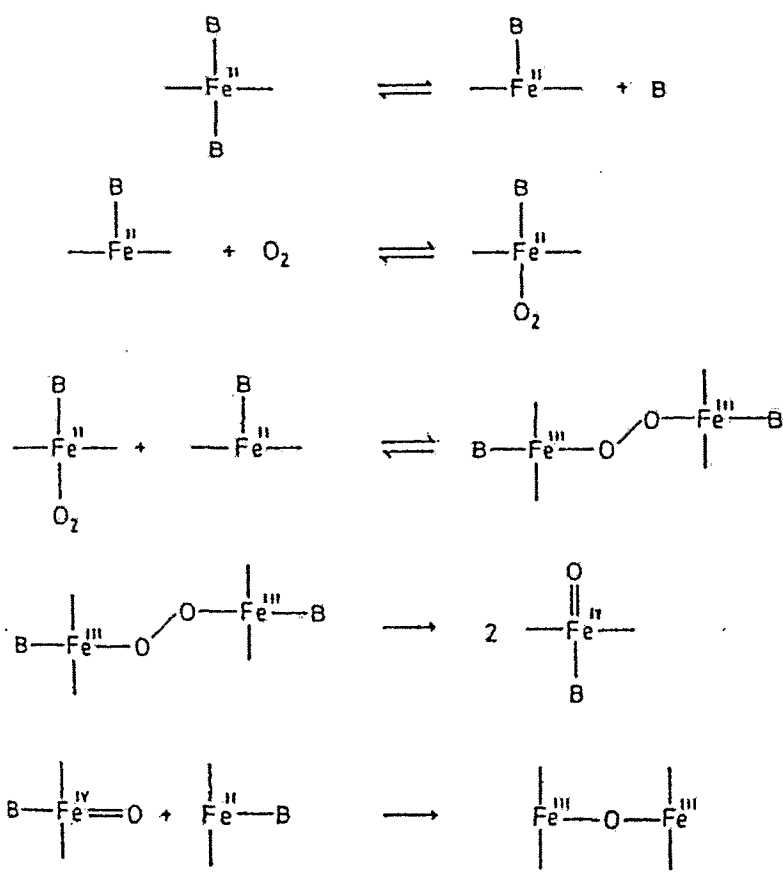
پورفیرین آهن (II) ساده نمی‌تواند با اکسیژن اتصال بازگشت پذیر بدهد مگر در دمای پائین. در دمای اتاق و در غیاب مقدار اضافی لیگاند ششم گونه‌های دی اکسیژن تشکیل شده شش کوئوردینه آهن (II) به سرعت با کمپلکس‌های آهن (II) پنج کوئوردینه موجود در محیط حمله می‌کند و کمپلکس بیس آهن (III)-μ-پراکسو (μ -peroxo) را تولید می‌کند. این کمپلکس تولید شده به سرعت می‌شکند و احتمالاً حد واسط فرلی (Ferrly) را تولید می‌کند که منجر به تولید کمپلکس بیس آهن (III)-μ-اکسو می‌شود که در آن آهن به طور بازگشت ناپذیری به سیکل فریک (Ferric) اکسید شده است (شکل ۱-۴). [۶]

بنابراین نقش اصلی اسکلت پلی پپتیدی هم-پروتئین پوششی برای محل اتصال اکسیژن است تا از نزدیک شدن دو حلقه هم به هم و در نتیجه از اکسایش غیربرگشتی پذیر و تشکیل کمپلکس μ-پراکسو جلوگیری کند.

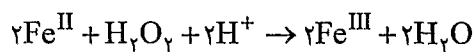
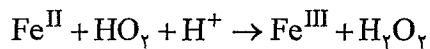
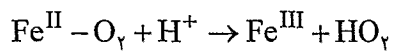
اکسایش غیربرگشتی پورفیرین آهن (II) با مکانیسم دیگری نیز ممکن است بدین دلیل بدن بایدیک آنزیم برای کاهش متмоگلوبین (فرم اکسید شده هموگلوبین آهن (III)) که توان انتقال اکسیژن را ندارد) به فرم آهن (II) فراهم کند. (هموگلوبین در بدن در شکل فریک تقریباً ۳٪ است)

این مکانیسم جایگزین وقتی اتفاق می‌افتد که اکسایش در محلول اسیدی یا تحت شرایطی کمپلکس μ-پراکسید بازدارنده تشکیل شود و عقیده بر این است که شامل کمک پروتون در تشکیل فرم پروتونه شده سوپراکسید است. (شکل ۱-۵)

مشابه این اکسایش با محصول سوپراکسید برای سیتوکروم P₄₅₀ اتفاق می‌افتد. زنجیره پپتیدی همچنین گونه‌های O₂-Fe^(III) را بایدار می‌کند.



شکل ۱-۴ شمای بازگشت ناپذیر اکسیدشدن به آهن III با تشکیل اکسی دایمر



شکل ۱-۵ شمای اکسیدشدن (Fe(III) به Fe(II) در محیط اسیدی

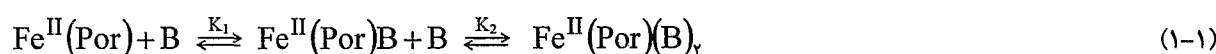
پورفیرین را یک پاکت آب گریز (hydrophobic) از دسترس پروتونهای بازدارنده، حفاظت و پایدار می‌کند. به علاوه مطالعات اخیر به وسیله تفرق نوترون و پرتو-X تعیین کرد که پایداری پیوند آهن اکسیژن در اکسو همو گلوبین و اکسومیو گلوبین ممکن است قسمتی بخارط پیوند هیدروژنی بین اتم اکسیژن انتهایی و ایمیدازول هیستین ایستال HisE باشد.

تأثیر اسکلت پروتئینی گسترده‌تر از تهیه یک سدی برای جلوگیری از اکسیدشدن است. اعتقاد بر این است که تغییر ساختار با اتصال اکسیژن در محل فعال منجر به رفتار همیارانه‌ای پراهمیتی در همو گلوبین می‌شود.

قسمت‌های خاصی که روی پروتئین قرار دارد راهی برای انتقال الکترون در سیتوکروم‌ها می‌باشد. نقش اصلی پروتئین ابقاء شکل کوئوردیناسیون پورفیرین آهن است.

دومین مساله اصلی در مطالعه پورفیرین‌های آهن (II) ساده ترجیح فلز برای شش کوئوردینه شدن است، برای نمونه در محلول شامل لیگاندهای N-کوئوردینه دهنده قوی، کوئوردیناسیون شش مناسب‌تر از کوئوردیناسیون پنج است. به عنوان مثال برای تعادل معادله (۱-۱)، $K_2 > K_1 \approx \frac{K_2}{K_1} = ۱۰\text{--}۳۰$ در حلالهای بدون پروتئون در 25°C در بنزن در 25°C ثابت اتصال پیریدین به

$\text{Fe}^{(II)}(\text{TPP})\text{Fe}^{(III)}\text{M}^{-1}\text{M}^{-1} = ۱/۵ \times ۱.۰ \times ۱/۹۲$ و $K_1 = K_2 / K_1 = ۱/۵ \times ۱.۰$ به وضوح به وسیله حالت اسپینی آهن کنترل می‌شود.



پورفیرین آهن در کوئوردیناسیون چهار در یک حالت حد واسط اسپینی ($S=1$) است. اضافه شدن یک لیگاند کمپلکس پنج کوئوردینه با حالت اسپینی ($S=2$) را می‌دهد، اضافه شدن لیگاند دوم گونه‌های شش کوئوردینه حالت کم اسپینی ($S=0$). با انرژی پایداری میدان بلور بیشتر را بوجود می‌آورد. در مقابل برای $\text{Co}^{(II)}$ هیچ پایداری ارزشمندی ناشی از رفتن از کوئوردیناسیون پنج به شش روی نمی‌دهد و $\text{Co}^{(II)}$ در هر دو مورد کم اسپین است، $K_2 >> K_1$ می‌باشد [۶].

۱-۲ آهن محیط و حیات

آهن فراوان‌ترین عنصر واسطه قشر زمین و حیات است. تقریباً یک سوم جرم زمین و بیشترین فراوانی در توزیع سنگ‌های پوسته زمین را آهن تشکیل می‌دهد [۷].

در میان عناصر واسطه‌ای که در ارگانیسم‌های زنده به کار رفته‌اند آهن بیشترین فراوانی را در محیط ما دارا می‌باشد. آیا این پدیده می‌تواند توضیحی برای این تفوق بیولوژیکی آهن باشد؟ و یا شیمی آهن از یک طرح ویژه‌ای پیروی می‌کند که برای ما روشن نیست؟

آهن یک فلز سیار ضروری برای تمام ارگانیسم‌های زنده، گیاهان، حیوانات، باکتری‌ها به استثناء لاکتوباسیل است. (باکتری که تولید اسیدلاکتیک می‌کند و ظاهرًا غلظت بالایی از منگنز را بجای آهن به کار می‌برد)

در بدن یک انسان بزرگسال به طور طبیعی حدود سه تا پنج گرم آهن وجود دارد که حدود ۷۰٪ این آهن در هموگلوبین و میوگلوبین و تقریباً ۴٪ آن در آنزیم‌ها می‌باشد، اکثریت باقی مانده آهن به عنوان ذخیره آهن وجود دارد. جدول ۱-۲ توزیع آهن را در یک انسان متوسط نشان می‌دهد [V].

جدول ۱-۲ میانگین توزیع Fe در انسان

درصد کل	مقدار Fe	حال اکسیداسیون Fe	عامل	پروتئین
۶۵	۲/۶	۲	انتقال O ₂ با پلاسمای هموگلوبین	
۶	۰/۱۳	۲	ذخیره O ₂ در عضله میوگلوبین	
۰/۲	۰/۰۰۷	۳	انتقال Fe با پلاسمای ترانسفرین	
۱۳	۰/۵۲	۳	ذخیره Fe در سلول فریتین	
۱۲	۰/۴۸	۳	ذخیره Fe در سلول هموسايدرین	
۰/۱	۰/۰۰۴	۲	متابولیسم H ₂ O ₂ کاتالاز	
۰/۱	۰/۰۰۴	۲/۳	انتقال الکترون سیتوکروم C	
۳/۶	۰/۱۴	-	اکسیداز و دیگر آنزیم‌ها و غیره	دیگر مواد

۱-۲-۱ خواص یون آهن

خواصی که بر رفتار انتقالی بیشتر یونهای عناصر واسطه و آهن حاکم است عبارت است از:

- شیمی اکسایش و کاهش

- هیدرولیز

- حلالت یون فلز در کمپلکس‌های مختلف بخصوص در هیدروکسیدها

آهن (III) با شاعع یونی ۰/۶۷ Å به عنوان یک اسید سخت و آهن (II) با شاعع یونی ۰/۸۳ Å در مرز بین اسید سخت و نرم قرار

دارد، در pH خنثی یون فریک آزاد فوق العاده کم است. ($K_{sp}Fe(OH)_3 \approx 10^{-31}$, $Fe(III) \approx 10^{-18} M$) و به غلظت حائز اهمیتی از

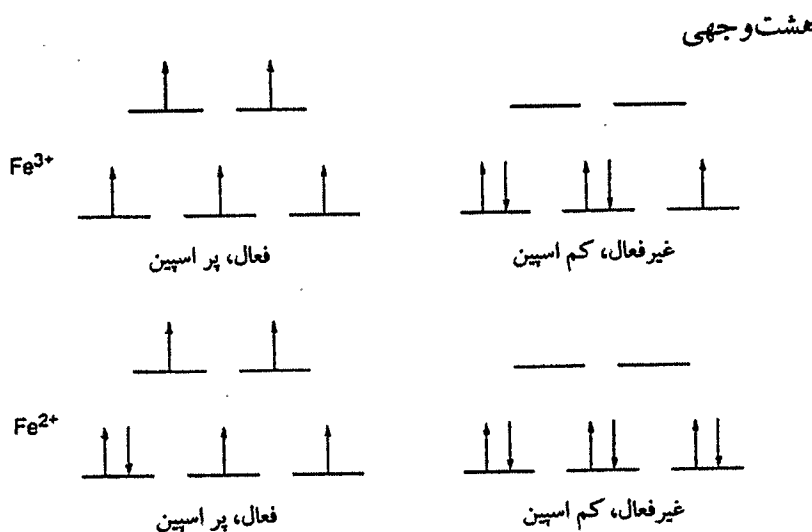
گونهای آهن محلول فقط با تشکیل کمپلکس‌های قوی می‌توان دسترسی پیدا نمود.

نمونه‌ای از عملکرد چند جانبه آهن و محیط اطرافش چگونگی تغییر در ساختار و ویژگی تعویض لیگاند برای یون فلز با قدرت

میدان لیگاند است، برای یون فریک پراسپین همانطور که در کمپلکس‌های اکوا یا در خیلی از کمپلکس‌های دیگر منجمله در

معرفهای میکروبی انتقال دهنده آهن که به نام سایدروفورها (Siderophores) نامیده می‌شود شکل هندسی کوئوردیناسیون

هشت وجهی و یا شبه هشت وجهی است. در میدان لیگاند نسبتاً ضعیف (حالت پایه پراسپین) کمپلکس‌ها بسیار فعالند (Labile) در حالیکه در میدان قوی مثل کمپلکس‌های پورفیرین یون فریک با لیگاند محوری قوی با حالت کم اسپین و غیرفعال (Inert) مواجه هستیم. (شکل ۶-۱)



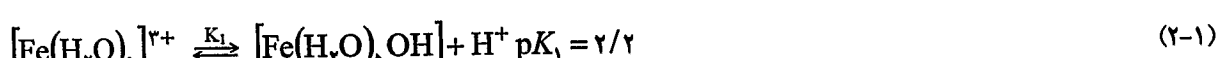
شکل ۶-۶ دیاگرام اوربیتالهای Δ در تقارن هشت وجهی حالت‌های کم اسپین و پراسپین ($\text{Fe}(\text{III})$ و $\text{Fe}(\text{II})$)

بطور مشابه کمپلکس‌های فروپراسپین هشت وجهی در تعویض لیگاند فعال اما کمپلکس‌های پورفیرین با لیگاند محوری دارای اسپین جفت (دیامغناطیس) و از نظر تعویض لیگاند غیرفعالند.

لیگاندهای بزرگ و حجم و لیگاندهای تحملی (Constraine) که به وسیله متال‌پورفیرین‌ها یا محل آنزیم‌ها تهیه شده‌اند می‌توانند چهار وجهی باشند که در هر دو صورت بون فرو و فریک در این شکل هندسی پراسپیتد.

حالات‌های اکسایش دو و سه برای محلول آبی یونهای $\text{Fe}(\text{II})$ و $\text{Fe}(\text{III})$ حالتی طبیعی می‌باشد هرچند اکسایش $\text{Fe}(\text{II})$ به $\text{Fe}(\text{III})$ در هوا در محلول اسیدی انتظار می‌رود. هر دو حالت اکسایش $\text{Fe}(\text{II})$ و $\text{Fe}(\text{III})$ اسیدهای لوئیس قوی هستند و pK_1 برای آهن

$$[\text{Fe}(\text{H}_2\text{O})_6]^{3+} \rightleftharpoons [\text{Fe}(\text{H}_2\text{O})_5\text{OH}] + \text{H}^+ \quad pK_1 = 2/2 \quad (\text{III})$$



تفاوت در پتانسیل اکسایش و کاهش بون آهن ویژه‌گی دیگری ناشی از ساختار و محیط کوئوردیناسیون آهن می‌باشد.

در حالیکه پتانسیل استاندارد کاهش یون $[\text{Fe}(\text{H}_2\text{O})_6]^{3+}$ در محیط اسیدی برابر $77/0$ ولت می‌باشد این پتانسیل برای سیتوکروم C با یک ساختار شبه هشت وجهی برابر $25/0$ ولت و با تغییر ساختار چهاروجهی برای روبرداکسین (Ruberdoxin) به مقدار $-0/06$